أثر ماء الجفت في بعض الخصائص الفيزيائية والهيدروديناميكية للتربة وفي نمو وإنتاجية نبات فول الصوبا

$^{(3)}$ وأولا قاجو $^{(1)}$ وسمر حسن $^{(2)}$ وأولا قاجو

- (1). قسم علوم التربة والمياه، كلية الزراعة، جامعة تشرين، اللاذقية، سورية.
 - (2). مركز البحوث العلمية الزراعية في اللاذقية، سورية.
- (3). قسم المحاصيل الحقلية ، كلية الهندسة الزراعية، جامعة تشربن، اللاذقية، سورية.
- (*للمراسلة:إيفان ديوب، البريد الالكتروني: dayoubevan@gmail.com، هاتف: 633995105176+)

تاريخ الاستلام:2024/01/29 تاريخ القبول:2024/05/25

الملخص

أجريت هذه التجربة الحقلية في محافظة اللاذقية (مبقرة فديو) /عام 2022 م/ لدراسة تأثير إضافة ثلاث مستويات من ماء الجفت (0-5-0) ل. a^{-2}) على بعض خصائص التربة الفيزيائية والهيدروديناميكية وبعض مؤشرات نمو وإنتاجية نبات فول الصويا المزروع في تربة لومية. أظهرت التجربة انخفاض الكثافة الظاهرية معنوياً في كلا العمقين (0-20) سم و(0-20) سم) للتربة المدروسة مع زيادة مستويات الإضافة من ماء الجفت. حقق مستوى الإضافة (0-20) سم القيمة العليا من حجم المسامية الكلية (0-20) وحجم المسامات الحاوية على الماء المتاح (0-20) سم القيمة العليا من حجم المسامية الكلية (0-20) وحجم المسامات الحاوية على الماء المتاح (0-20) بشكل مشابه حقق مستوى الإضافة (0-20) وحجم المسامات الحاوية على الماء القيمة العليا من حجم المسامية الكلية (0-20) بينما بلغت القيمة القصوى لحجم المسامات الحاوية على الماء المتاح (0-20) عند المستوى (0-20) من ماء الجفت في العمالة الزيادة المعاملة البروتين حيث بلغت الزيادة في المسطح الورقي، ونسبة البروتين (0-20) عند استخدام (0-20) من ماء الجفت على التوالي مقارنة بالشاهد. بينما بلغت مقارنة بالشاهد.

الكلمات المفتاحية: الكثافة الظاهرية، الشد الرطوبي، الماء المتاح، ماء الجفت، فول الصويا

المقدمة:

يعتبر التخلص من ماء الجفت أحد المشاكل البيئية المتكررة ذات الصلة بصناعة زيت الزيتون في منطقة البحر الأبيض المتوسط (Kavvadias et al., 2014; Gikas et al., اليونان (S'habou et al., 2009; Sahraoui et al., 2014) اليونان (Lozano- Garcı'a et al., 2014) وإيطاليا (Sciarria et al., 2013). كذلك الأمر بالنسبة لسوريا التي قدر إسبانيا (Lozano- Garcı'a et al., 2011) وإيطاليا (2018، وهذه الكمية متوقعة الزيادة في السنوات القليلة المقبلة نتيجة لاستمرار التوسع في زراعة الزيتون وإدخال 2-2 مليون شجرة جديدة سنوياً في دورة الإنتاج (CBS, 2012).

يُعد التوزيع المباشر لماء الجفت على الأراضي الزراعية هو الأسلوب الأكثر استخداماً في منطقة البحر الأبيض المتوسط حتى المستوات الأخيرة (Paredes et al., 1999). تمت دراسة هذه التقنية لأكثر من ثلاثين عامًا (Ceccarini, 1993, Marques, 2001) وتمثل بديلاً لاستخدام تقنيات التطهير قبل التفريغ في المسطحات المائية.

يجعل المحتوى العالي ل ماء الجفت من الكربون العضوي والمركبات الهيومية ووفرة العناصر الغذائية الكبرى نتروجين فوسفور وبوتاسيوم (N,P,K) هذه المادة محسناً ممتاز للتربة مع قدرة تسميدية عالية(N,P,K) المدود (N,P,K) هذه المادة محسناً ممتاز للتربة مع قدرة تسميدية عالية(المالية والكيول، هيدروكسي إلا أنه يمتلك قدرة عالية على التلويث بسبب المحتوى العالي من الملوحة، الحموضة و المركبات الفينولية (كاتيكول، هيدروكسي تيروزول، وأوليوروبين) والطلب البيولوجي والكيميائي العالي للأكسجين بالتالي الإضافة المباشرة للتربة قد تزيد ملوحة التربة معتمدة على نسبة الإضافة (المائية) للتربة مثل (الكثافة الظاهرية والهيدروديناميكية (المائية) للتربة مثل (الكثافة الظاهرية - توزيع النظام المسامي ومنحنيات المد الرطوبي للتربة، وإتاحة العناصر الكنافة الظاهرية ومع نلك، فإن هذه العلاقات تعتمد على نوع التربة وعمق التربة :(Perie and Ouimet, 2008) علاقة قوية وسلبية بين المادة العضوية في التربة والكثافة الظاهرية ومع نلك، فإن هذه العلاقات تعتمد على نوع التربة وعمق التربة ; (Jain et al., 1997) علاقة قوية وسلبية بين المادة الجذري للنبات بالعناصر، الماء والهواء (Ventrella et al., 2019). أخيراً تُعبر منحنيات الشد الرطوبي ومحتوى الماء على قدرة التربة على تخزين الماء من أجل نمو النبات (SWRCs) أو (SWRCs) على معلومات وفيرة حول الخواص الفيزيائية والهيدروليكية للتربة فحسب، بل يؤثر أيضًا على امتصاص الجذور للماء من التربة وتبخرها (Ciocca et al., 2014)). (كانتشمن التربة وتبخرها التربة الميادة النبية الميادة على المتوبة التربة وهيدرولوجيا التربة التربة الموبة التربة وهيدرولوجيا التربة التربة الموبة التربة وهيدرولوجيا التربة الموبة التربة الماء من أجل الموبة التربة الموبة التربة وهيدرولوجيا التربة التربة الموبة التربة الكربة التربة الموبة التربة الموبة التربة ومياء التربة ومياء التربة الموبة التربة التربة الموبة التربة الموبة التربة الموبة التربة الموبة التربة التربة الموبة التربة الكربة الموبة التربة الموبة التربة الموبة التربة الموبة التربة الموبة التربة الموبة الموبة الموبة الموبة التربة الموبة التربة الموبة الموبة الموبة الموبة الموبة الموبة الموبة الموبة المو

زادت المعاملة بماء الجفت المسامية الكلية للتربة (Chiesura et al., 2005) وثباتية بناء التربة بماء الجفت المسامية الكلية للتربة مع زيادة مستوى الإضافة من OMWW (إبراهيم وآخرون، 2017). (2017;Abichou et al., 2009) محامل التوصيل المشبع (Chiesura et al., 2002) معامل التوصيل المشبع (Lica في معامل التوصيل المشبع في تجربة لمدة أربعة أشهر في الشهر الثاني، ولكن هذه الزيادة أعقبها انخفاض تدريجي في معامل التوصيل المشبع في الشهرين الثالث والرابع (Sahraoui et al., 2015) . ازداد المحتوى الرطوبي للتربة مع نتالي مستويات الإضافة من ماء الجفت عند نفس الشد الرطوبي (أسعد 2023)، بينما ازدادت المسامات الحاوية على الماء المتاح عند إضافة 00او 75% من السعة الحقلية ماء جفت للتربة وانخفضت الكثافة الظاهرية للتربة معنوياً عند إضافة ماء الجفت بمستوى 2.21% من السعة الحقلية (إبراهيم وآخرون، 2017). يمتلك ماء الجفت محتوى عالٍ من المادة العضوية (Magdich et al., 2013) وزيادة حجم المسامات الكربون العضوي للتربة على المدى الطويل من تطبيق ماء الجفت (Mahmoud et al., 2012) وزيادة حجم المسامات الكربون العضوي الذي يربط التجمعات الصغيرة مع بعضها لتشكيل تجمعات أكبر (Emerson 2008) وزيادة حجم المسامات الكبيرة بالتالي تخفيض الكثافة الظاهرية (Paglial et al., 1981).

يعتبر فول الصويا من أهم السلع في السوق الدولية. وبالإضافة إلى استخداماتها المتعددة في تغذية الحيوان، والاستهلاك البشري، يمكن استخدام هذه الحبوب في العديد من العمليات الصناعية، وكذلك في الطب، لما لها من فوائد صحية وكمصدر للطاقة الحيوبة

(Seo et al., 2019;Phommalath et al., 2014). إذ يتراوح محتوى بذوره من البروتين 26–40% ومن الزيت 14–36%. فهو يتفوق من حيث المحتوى البروتيني على جميع المحاصيل البقولية (Kostova et al., 1984)

أهمية البحث:

تكمن أهمية هذا البحث من خلال الاستفادة من الري ب ماء الجفت ذو المحتوى العضوي العالي الذي يمثل مشكلة بيئية بسبب التوزيع الفوري والعشوائي بدون معالجة مسبقة وفائدة استخدامه بشكل آمن لتحسين الخواص الفيزيائية للتربة في ظروف المنطقة الساحلية بما يسهم في تحسين نمو ورفع إنتاجية نبات فول الصوبا وتقليل الاعتماد على التسميد الكيميائي غالى الثمن.

أهداف البحث:

1-تحديد نسبة الإضافة المثلى من ماء الجفت في تحسين بعض الخواص الفيزبائية والهيدروديناميكية للتربة.

2-تحديد نسبة الإضافة المثلى من ماء الجفت في تحسين بعض مؤشرات النمو والإنتاجية لنبات فول الصوبا.

مواد البحث وطرائقه:

مواد البحث:

موقع التنفيذ:

نُفذ البحث في عام 2022 م في محافظة اللاذقية مبقرة فديو (N" 31' 29°52' 11" E 35°52) في تربة لومية حيث خضعت تربة الدراسة لمجموعة من التحاليل المخبرية لتحديد بعض الخصائص الفيزيائية والكيميائية (جدول1).

المدروسة.	للتربة	والكيميائية	الفيزيائية	الخصائص): أهم	1	الحدول (
~	. •			_	١ ١		, 👓 .

	<u> </u>	, , , ,
40-20 سم	20-0 سم	العمق
23.32	21.91	طین (أقل من 2 میکرون)
5.03	11.15	سلت ناعم (2- 6.3 میکرون)
8.13	5.15	سلت متوسط (6.3 -20 میکرون)
6.91	5.95	سلت خشن (20-63 میکرون)
20.07	22.25	السلت الكلي (2-63 ميكرون)
18.7	19	رمل ناعم (63-200 میکرون)
17	18.04	رمل متوسط200-630 ميكرون)
20.91	18.8	رمل خشن (630 -2000 میکرون)
56.61	55.84	الرمل الكلي (63-2000 ميكرون)
لومية L	لومية L	نوع التربة
1.3	2.2	نسبة المادة العضوية %
15.7	16.25	كربونات الكالسيوم الكلية %
6.3	5.5	كربونات الكالسيوم الفعالة %
24.80	23.88	السعية التبادلية الكاتيونية (م م 100 غ تربة)
34.4	31.7	السعة الحقلية حجماً
13.5	13	نقطة الذبول الدائم وزنأ
2.64	2.62	الكثافة الحقيقية

المادة النباتية: استُخدم صنف فول الصويا sb44 من مركز البحوث الزراعية في دمشق هو صنف ذو إنتاجية جيدة مقارنة مع الأصناف الأخرى، ارتفاع قرنه الأول عن سطح التربة حوالي 8 سم أما ارتفاع النبات فيصل حتى 80 سم، وهو مقاوم للانفراط والضجعان، ومن الأصناف المتوسطة النضج (وزارة الزراعة والإصلاح الزراعي، 2014).

ماء الجفت: أخذ ماء الجفت من معصرة زيتون بالقرب من مدينة اللاذقية (4 كم) نظام طرد مركزي ثلاث مراحل من خط الإنتاج مباشرة وخزنت في أوعية بلاستيكية 50 ل وتم خلطها حتى التجانس قبل موعد الإضافة. بلغ الأزوت الكلي285 ppm والفوسفور

الكلي ppm والبوتاسيوم الكلي 3844 ppm، درجة الحموضة 5.81 معلق، الناقلية الكهربائية (EC) ميلليموس. سم $^{-1}$ 4.12 المادة العضوية 39. 05 غ.ل $^{-1}$.

4-2 تصميم التجربة:

تضمن تصميم التجربة العاملية دراسة تأثير ثلاث مستويات من ماء الجفت $(0-5-01 \text{ U. a}^{-2})$ ولكل معاملة ثلاث مكررات، وزعت المعاملات وفق تصميم العشوائية الكاملة W=بدون إضافة، W= 5 ل. W= 5 ل. W= 10 ل. W=بدول (2).

الجدول (2): تصميم التجربة

W0	W1	W2
W1	W2	W0
W2	W0	W1

4-3 تحضير التجربة للزراعة:

تم تنعيم سطح التربة بواسطة العزاقة الدورانية بعد الفلاحة العميقة 30 سم لإعداد القطع التجريبية بمساحة 3 م 2 . كل قطعة تحوي 3 خطوط والمسافة بين الخط والآخر 00سم و 20 سم بين النباتات في كل صف. أضيف ماء الجفت قبل 40 يوم من الزراعة ثم أضيفت الأسمدة الفوسفورية والبوتاسية بكامل الجرعة السمادية محسوبة تبعاً للمعادلة السمادية 00 (00 (00 (00 (00 (00 (00 (00))، وتم تجهيز مرقد البذور وخطوط الزراعة. تمت زراعة بذور فول الصويا 00 (00 على صورة يوريا على عمق 00 (00 على بتاريخ 00 (00 بمعدل 00 بمعدل 00 (00 بعدها مباشرة. بدأ الإنبات بعد خمسة أيام واستمر حتى 00 (00 كغ. ه00 من الأزوت عند بداية الأزهار .

العناية بالتجرية:

رويت النباتات بالخطوط أسبوعياً رياً سطحياً على خطوط عند رطوبة تعادل 80% من السعة الحقلية. كما رُشت بمبيد حشري جهازي ومبيد فطري (توبسين) بعد شهر من الزراعة بشكل منفصل أسبوعياً. ابتداءً من 2022/7/5 رُشت النباتات بالعناصر الصغرى ورقياً ثلاث مرات بفاصل عشرة أيام. استُخدمت مبيدات الأكاروسات من 2022/8/11 بفاصل 20 يوم بين كل رشة حتى موعد الحصاد.

قياس المسطح الورقى والبروتين:

تم القياس بأخذ قراءات 5 نباتات من كل مكرر لحساب:

1-قياس المسطح الورقى بعد 60 يوم من الزراعة.

2- البروتين.

إجراءات الحصاد:

حُصدت خمس نباتات من كل مكرر عند النضج الفيزيولوجي بعد 4 شهور و 20 يوماً من الزراعة تم فصل القرون عن النباتات وتركها لتجف هوائياً ثم حسبت الإنتاجية كغ. دونم $^{-1}$. أخذت عينات غير مخربة البناء بعد الحصاد بواسطة أسطوانات معدنية (100 سم $^{-3}$) من جميع المعاملات بواقع ثلاث مكررات من كل معاملة لتحديد:

1-كثافة ظاهرية للتربة على العمقين (0-20 سم و0-40 سم) عند مستويات مختلفة من ماء الجفت.

2- توزيع النظام المسامي للتربة على العمقين (0-20) سم و(0-40) سم عند مستوبات مختلفة من ماء الجفت.

3-منحنيات الشد الرطوبي عند على العمقين (0-20 سم و0-40 سم) عند مستوبات مختلفة من ماء الجفت.

طرائق البحث:

التربة: تم تحديد نسب حبيبات التربة (طين-سلت ورمل) بواسطة طريقة الماصة (Bernharat, 1967) ونوع التربة باستخدام مثلث القوام الألماني (Ryan et al., 2003)، كربونات الكالسيوم العضوية عن طريق الهضم الرطب (Ryan et al., 2003)، كربونات الكالسيوم الكلية% عن طريق المعايرة (Ryan et al., 2003) وكربونات الكالسيوم الفعالة (Ryan et al., 2003).

قُدرت السعة التبادلية الكاتيونية للتربة (م م 100 غ تربة) بطريقة خلات الصوديوم (Ryan et al., 2003)، السعة الحقلية حجماً بواسطة جهاز الضغط الغشائي والكثافة الحقيقية بواسطة البكنومتر (ابراهيم وبركات, 2013).

الكثافة الظاهرية للتربة: طريقة الأسطوانات المعدنية.

توزيع النظام المسامي للتربة:

وقد تم تحديدها في جهاز الضغط الغشائي وفق القانون:

, 2013)ابراهیم وبرکاتPm=4σw/d (

الضغط (باسكال) ,Pm :قطر المسام (م) ,d :التوتر السطحي للماء نيوتن/م صن :

:بعد ذلك تم تحديد حجم المجموعات المسامية كما يأتي

 $PV\% > 50\mu m = PV\% - Wvol. pF_{1.8}$ $PV\% > 10\mu m = PV\% - Wvol. pF_{2.5}$

PV% (10-50) $\mu m=Wvol. pF_{1.8}-Wvol. pF_{2.5}$

PV% (0.2-10) $\mu m = Wvol. pF_{2.5} - Wvol. pF_{4.2}$

 $PV\% < 0.2 \mu m=Wvol. pF_{4.2}$

إذ إن $pF_{1.8}$ هي الرطوبة الحجمية عند نهاية الضغط المعادل ل $pF_{1.8}$

PV%: حجم المسامية الكلية للتربة وتحدد كما يلي

 $^{-3}$ الكثافة الخاهرية غ.سم $^{-3}$: الكثافة التربة غ.سم $^{-3}$ الكثافة الحقيقية للتربة غ.سم $^{-3}$ الكثافة الحقيقية للتربة غ.سم

منحنيات الشد الرطوبي:

كُددت منحنيات الشد الرطوبي باستخدام جهاز الضغط الغشائي وذلك بتطبيق ضغوط متزايدة بدءاً من الضغط $pF_{1.8}$ و $pF_{1.8}$ و $pF_{3.5}$ و

ماء الجفت: تم تقدير الأزوت الكلي بطريقة كلداهل والفوسفور الكلي والبوتاسيوم الكلي (الهضم مع الكبريت وحمض الساليسيك بوجود السيلينيوم) (Tendon, 2005)، درجة الحموضة معلق (1:5)، الملوحة EC معلق (1:5)، المادة العضوية. (الترميد على حرارة C 550).

قياس المسطح الورقى: عن طربق(Tshernikova, 1981):

 $LA = (0.583) (L. W)^* 3*N$

LA=2-المساحة الورقية سم

Dayoub et al –Syrian Journal of Agriculture Research- SJAR 12(5): 75-87 October 2025

أقصى طول للوريقة سم=L

أقصى عرض للوريقة سم=W

عدد الأوراق=N

البروتين: تم تقدير الأزوت الكلى بطريقة كلداهل ثم الضرب بمعامل البروتين (6.25) (Pearson, 1981).

التحليل الإحصائي:

النتائج والمناقشة:

أثر ماء الجفت في الكثافة الظاهرية للتربة:

تظهر النتائج في الجدول (3) تغيرات الكثافة الظاهرية في العمقين 0–0سم و00 سم تحت تأثير ماء الجفت. استجابت الكثافة الظاهرية بانخفاض معنوي مع زيادة مستوى الإضافة من ماء الجفت عند كلا عمقي التربة 00 سم و00 سم وبلغت أقل قيمة لها عند المستوى 10 ل. م01 من ماء الجفت لكلا العمقين 1.25 و 1.45 غ. سم01 بنخفضت الكثافة الظاهرية معنوياً لطبقة التربة 00 سم مع زيادة مستويات الإضافة من ماء الجفت (5و10 ل. م01 بمقدار 00 و 01 غ. سم02 على التوالي مقارنة بالشاهد. تصرف ماء الجفت بنفس الطريقة عند العمق 01 من من الخفضت الكثافة الظاهرية معنوياً بمقدار 03 في سم04 على التوالي مقارنة بالشاهد. وهذا يتوافق مع كل من (2013) (Paglial *et al.*, 1981 ;Emerson, 2008;2012)

العمق 20-40 سم	العمق 0- 20سم	المعاملة
1.55 a	1.35 a	W0
1.48 b	1.31 b	W1
1.45 b	1.25 c	W2
0.031	0.038	Lsd at 5%

الجدول (3): تغيرات الكثافة الظاهرية غ. سم $^{-2}$ في العمقين 0 و 0 0 سم تحت تأثير ماء الجفت.

أثر ماء الجفت في توزيع النظام المسامي التربة:

أظهرت النتائج في الجدول (4) تغيرات توزيع النظام المسامي للتربة تحت تأثير مستويات مختلفة من ماء الجفت. حقق مستوى الإضافة 10 ل.م $^{-2}$ في العمق000 سم القيمة العليا من حجم المسامية الكلية للتربة 52.10 وحجم المسامات الحاوية على الماء المتاح 16.46 أما بالنسبة للمسامات الحاوية على ماء غير متاح بلغت أقل قيمة لها عند هذا المستوى 16.75. حقق مستوى الإضافة 10 ل.م $^{-2}$ في العمق00 سم القيمة العليا من حجم المسامية الكلية 44.86 أما بالنسبة للمسامات الحاوية على ماء غير متاح بلغت أقل قيمة لها عند هذا المستوى 19.86. بينما حقق المستوى 5 ل.م $^{-2}$ القيمة القصوى لحجم المسامات الحاوية على الماء المتاح 15.87.

استطاعت إضافة ماء الجفت زيادة المسامية الكلية لطبقة التربة 0–20 سم معنوياً مع زيادة مستوى الإضافة (5 و 10 ل. م $^{-2}$) بمقدار 3.63 و 3.63 على التوالي مقارنة بالشاهد. بينما لم تحقق هذه الإضافة من ماء الجفت عند كلا المستويين (5 و 10 ل. م $^{-2}$) أي زيادة معنوية في حجم المسامات الأكبر من 10 و 50 ميكرون مقارنة بالشاهد. من جهة أخرى، استطاع ماء الجفت تحقيق زيادة معنوية في حجم المسامات الحاوية على الماء المتاح عند استخدام المستوى 10 ل.م $^{-2}$ فقط. على العكس من ذلك، انخفض حجم

المسامات الحاوية على الماء غير المتاح μ m 0.2مع إضافة ماء الجفت بدون تحقيق أي انخفاض معنوي عند 5 ل. م $^{-2}$ ولكن زيادة المستوى إلى 10 ل. م $^{-2}$ أدى لانخفاض معنوي بمقدار 0.8 مقارنة بالشاهد.

تمكن الري بماء الجفت (5 و 10 ل. a^{-2}) من زيادة المسامية الكلية للتربة في العمق 20–40 سم بمقدار 2.43 و 3.59 على التوالي مقارنة بالشاهد. استطاع ماء الجفت تحقيق زيادة معنوية في حجم المسامات الهوائية μ m 10 عند استخدام المستوى 10 ل. a^{-2} فقط بينما تسبب المستوى 5 ل. a^{-2} من ماء الجفت بالحصول على زيادة معنوية في حجم المسامات الحاوية على الماء المتاح قدرها فقط بينما تسبب المستوى 5 ل. a^{-2} من ماء الجفت حجم المسامات الحاوية على الماء غير المتاح am a0.2 معنوياً مع زيادة مستوى 1.06 مقارنة بالشاهد. بصورة مختلفة، انخفض حجم المسامات الحاوية على الماء غير المتاح a0.2 بمقدار a0.2 بمقدار a0.2 مقارنة بالشاهد.

أعزيت الزيادة في المسامية الكلية للتربة عند استخدام ماء الجفت للتأثيرات المشتركة للمادة العضوية (المعلقة والقابلة للذوبان) وتعزيز عملية ذوبان كربونات معادن التربة بوجود ماء الجفت (Cox et al., 1997)، وعن طريق زيادة عدد المسامات الناقلة الممتدة وانتقال البناء من حبيبي كبير المضغوط داخلياً إلى مجمعات أصغر أكثر انتظاماً شبه زاوية ومتعددة السطوح مفصولة بمسامات متواصلة ومترابطة (Pagliai et al., 2001)، وهذا يتوافق مع (Rhalil et al., 2019) الذي ذكر زيادة حجم المسامات الحاوية على الماء المتاح عند استخدام ماء الجفت بمستوى 3.15 ل. م-2 لتربة رملية معنوياً من 0.107 حتى 0.131 في الطبقة السطحية (30-0 سم) للتربة.

~ J.	٠, ي و.	- 9 7 9.	. 3 ()	•		
PV%	PV>50 μm	PV>10 μm	PV (0.2 -10 μm)	PV<0.2 μm		
)-0	20 سىم				
48.47 b	8.34	16.7	14.22 b	17.55 a		
50 c	10.7	17.7	14.88 b	17.42 a		
52.10 a	11.97	18.89	16.46 a	16.75 b		
1.444	NS	NS	1.474	0.496		
40-20 سم						
41.27 b	3.08	6.85 b	13.5 b	20.92 a		
43.73 a	2.6	7.73 b	15.87 a	20.13 b		
44.86 a	3.86	10.76 a	14.24 b	19.86 b		
a1.092	NS	1.550	1.069	0.426		

الجدول (4): تغيرات توزيع النظام المسامي للتربة في العمقين (0-20و 20-40سم) تحت تأثير ماء الجفت.

أثر ماء الجفت في منحنيات الشد الرطوبي والثوابت التجرببية للتربة:

يشير الشكل (1 و2) لمنحنيات الشد الرطوبي للتربة اللومية المدروسة تحت تأثير الإضافات المتزايدة من ماء الجفت حيث تناقص المحتوى الرطوبي للتربة مع زيادة الشد الرطوبي لكل المعاملات المدروسة، ولكن عند pF أقل من 2.5 ازداد الشد الرطوبي مع زيادة معدلات الإضافة من ماء الجفت لكلا عمقي التربة المدروسة. تغير الشد الرطوبي عند الشد الرطوبي أخر من 2.5 حيث ازداد في الشاهد مقارنة بمعاملات إضافة ماء الجفت. بمعنى أخر زادت قوة مسك الماء بالتربة عند عدم توفر ماء الجفت.

تبين النتائج في الجدول (5) تأثير مستويات مختلفة من ماء الجفت في الثوابت التجريبية للتربة. بقيت قيم الثوابت التجريبية أعلى في طبقة التربة 0-20 سم مقارنة بالطبقة 0-40 سم، وتحسنت الثوابت التجريبية للتربة عند الري بماء الجفت بكلا المستويين لتبلغ عند المستوى 10 ل.م-2 حيث بلغ كل منهما 0.388 = 0.388 و 0.388 = 0.388 لطبقة التربة 0.200 سم و 0.388 = 0.388 عند المستوى 10 ل.م-2 حيث بلغ كل منهما 0.388 = 0.388 و 0.388 = 0.388 التربة 0.388 = 0.388 سم و 0.388 = 0.388 المستوى 0.388 = 0.388 سم و 0.388 = 0.388

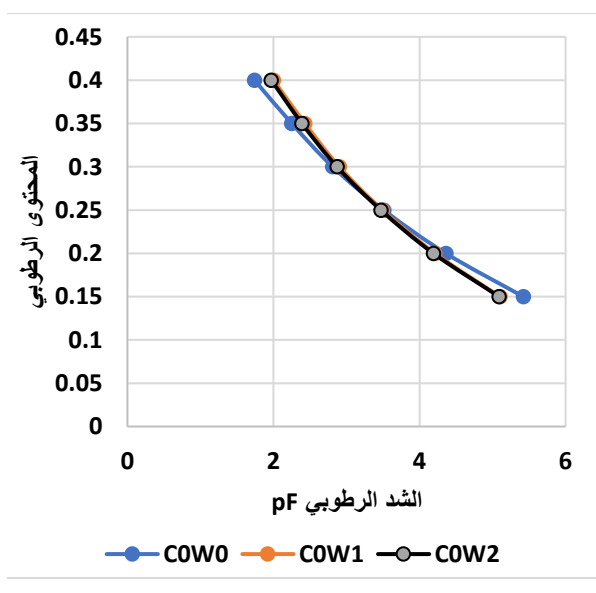
أدى الري بماء الجفت لزيادة الثوابت التجريبية للتربة (a و a) لعمق التربة a 0.050 سم حيث ازداد a بمقدار 0.050 و 0.231 بعد إضافة ماء الجفت (5 و 10 ل. a^{-2}) على التوالي مقارنة بالشاهد. بينما بلغت زيادة الثابت a 0.283 a 0.283 تباعاً عند المستويين (5 و 10 ل. a^{-2}) من ماء الجفت مقارنة بالشاهد. بالمقابل استطاع ماء الجفت زيادة الثوابت التجريبية لطبقة التربة a 0.020 سم حيث ازداد a بمقدار a 0.028 و 0.092 بعد إضافة ماء الجفت (5 و 10 ل. a^{-2}) على التوالي مقارنة بالشاهد. بينما بلغت زيادة الثابت a 0.642 a 0.042 a من ماء الجفت مقارنة بالشاهد.

يشير التحسن في الثوابت التجريبية للتربة (b و d) عند إضافة ماء الجغت إلى زيادة كمية الماء المتاح عند نفس الشد الرطوبي وتحوله إلى ماء أقل سهولة للامتصاص من قبل النبات، وبالتالي تسمح هذه الزيادة بالاحتفاظ بكميات إضافية من المياه، مما يزيد من كمية الرطوبة المتاحة في منطقة الجذر ويسمح بفترات زمنية أطول بين الريات (Yin et al., 2012;Liu,et al., 2017). وهو ما سينعكس إيجاباً على نمو النبات وإنتاجيته (Lawlor et al., 2004).

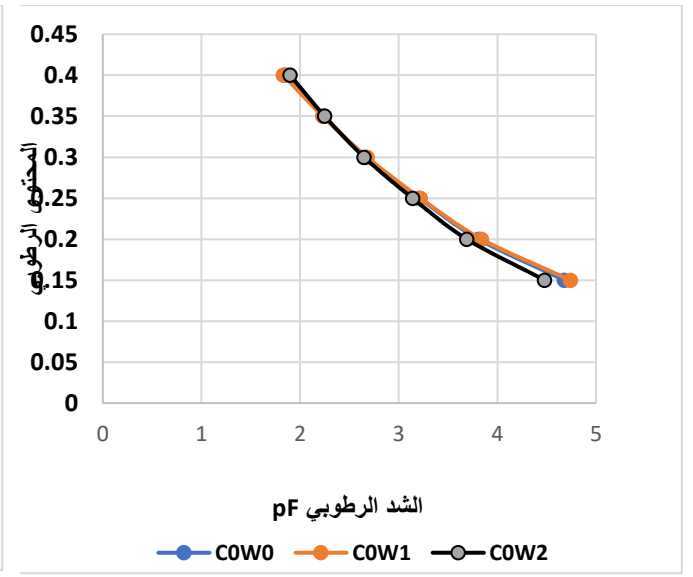
ذكر 2013, (Diamantis et al), 2013 أن المحتوى الرطوبي لتربة رملية ارتفع إلى 50% مقارنة بالشاهد وبعد 4 أسابيع من إضافة (Diamantis et al), 2013 ل.م $^{-2}$ ، وهذا يعزى إلى تباطؤ معدل جفاف التربة مع مرور الوقت في قطعة الأرض المعاملة بمياه الجفت. أعزيت زيادة قدرة التربة على الاحتفاظ بالماء عند إضافة ماء الجفت بالمستويات (5 و 10 ل.م $^{-2}$) إلى توليد مكونات كارهة للماء أثناء تحلل المواد العضوية، وبقايا الزيوت والشحوم وهي مواد شبيهة بالشمع تشكل طبقة على جزيئات التربة (Bisdom et al., 1993).

الجدول (5): المعادلات والثوابت التجريبية ومعاملات التحديد لمنحنيات الشد الرطوبي عند العمقين (0-20و 20-40سم).

العمق 20- 40سم			المعمق 0-20 سم					
التجريبية	الثوابت	معامل	المعادلة	لتجريبية	الثوابت ا	معامل	المعادلة	المعاملة
b	a	التحديد		b	a	التحديد		
-8.704	0.019	$r^2=0.97$	$\Psi = 0.019.0^{-1}$	-6.679	0. 157	$r^2=0.99$	Ψ =0. 157.θ ⁻	W0
			8.704				6.679	
-8.062	0.	$r^2=0.99$	$\Psi = 0.047.0^{-1}$	-6.396	0. 216	$r^2 = 0.98$	Ψ=0. 216.θ	W1
	047		8.062				6.396	
-6.752	0.	$r^2=0.99$	Ψ=0. 211.θ	-5.816	0. 388	$r^2 = 0.98$	Ψ=0. 388.θ-	W2
	211		6.752				5.816	



الشكل (2) منحنيات الشد الرطوبي عند معدلات مختلفة وماء الجفت للعمق 40-20 سم.



الشكل (1) منحنيات الشد الرطوبي عند معدلات مختلفة وماء الجفت للعمق 0-0 سم

مؤشرات نبات فول الصويا (المسطح الورقى سم 2 ، الإنتاجية كغ. دونم $^{-1}$ والبروتين%):

تظهر النتائج في الجدول (6) تغيرات المسطح الورقي سم $^{-2}$ ، الإنتاجية كغ. دونم $^{-1}$ ، ونسبة البروتين في حبوب فول الصويا تحت تأثير مستويات مختلفة من ماء الجفت. حققت المعاملة بماء الجفت 10 ل. م $^{-2}$ القيم العليا لمؤشرات النمو والإنتاجية ونسبة البروتين حيث بلغت زيادة للمسطح الورقي ونسبة البروتين قدرها 28.22% و 18.75%على التوالي. بينما بلغت زيادة الإنتاجية 38.25% عند استخدام (5 و 10 ل. م $^{-2}$) من ماء الجفت على التوالي.

أدت إضافة ماء الجفت عند المستويين (5 و 10 ل. a^{-2}) لزيادة المسطح الورقي لنبات فول الصويا معنوياً بمقدار 800.48 و 1694.33 سم⁻² تباعاً مقارنة بالشاهد. من جهة أخرى ارتفعت إنتاجية نبات فول الصويا بعد إضافة ماء الجفت (5 و 10 ل. a^{-1}) للتربة معنوياً بمقدار 76.7 و 126.76 كغ. دونم⁻¹ تباعاً مقارنة بالشاهد وبصورة مشابهة ازدادت نسبة البروتين في بذور فول الصويا معنوياً مع زيادة مستوى الإضافة من ماء الجفت لتبلغ أقصاها عند 10 ل. a^{-2} بمقدار 5.13% مقارنة بالشاهد.

البروتين%	الإنتاجية كغ. دونم-1	المسطح الورقي سم2	المعاملة
27.35 с	200.5 с	6004 c	W0
29.95 b	277.2 b	6804.48 b	W1
32.48 a	327.26 a	7698.33 a	W2
1.220	13.9	107.845	Lsd at 5%

الاستنتاجات والتوصيات:

126.76 و 76.7 و

2— انخفضت الكثافة الظاهرية معنوياً في كلا العمقين (0—20 سم و20—40 سم) للتربة اللومية المدروسة مع زيادة مستويات الإضافة من ماء الجفت. بلغ الانخفاض الأكبر مقدار 0.1 غ. سم—3 عند مستوى الإضافة الأعلى 10 ل. م—2من ماء الجفت لكلا للعمقين (0—20 سم و0—40 سم).

-3 حيث بلغ كل المستويين لتبلغ قيمها العليا عند المستوي -2 حيث بلغ كل المستوي -3 حيث بلغ كل المستوي -3 التربة عند الري بماء الجفت بكلا المستويين لتبلغ قيمها العليا عند المستوى -3 التربة -3 منهما -3 الطبقة -3 الطبقة -3 الطبقة -3 الطبقة التربة التر

4-ارتفعت المسامية الكلية للتربة المدروسة عموماً معنوياً عند كلا العمقين (0-02 سم و02-04 سم) مع زيادة مستويات الإضافة 05 ل.م-2 بزيادة مقدارها 03.63 و05-04 مقارنة بالشاهد لكل من العمقين (05 من ماء الجفت لتبلغ أعلاها عند مستوى إضافة 05 ل.م-25 بزيادة مقدارها 05 ل.م-25 في العمق05-06 سم القيمة العليا من حجم المسامية الكلية 05-06 بينما حقق المستوى 05 ل.م-26 من ماء الجفت القيمة القصوى لحجم المسامات الحاوية على الماء المتاح07-05.87.

وانطلاقاً من ذلك نوصى بما يلى:

1- استخدام ماء الجفت للتربة بمعدل 10 ل. م-2 على تربة لومية لتحسين خصائص التربة الفيزيائية وزيادة نمو وإنتاجية نبات فول الصوبا.

2-إجراء الدراسة باستخدام ماء الجفت على أنواع أخرى من الترب لمعرفة مستوى الإضافة المناسب منه في تحسين الخواص الفيزيائية والهيدروديناميكية للتربة.

المراجع:

ابرهيم جهاد، بركات منى (2013). فيزياء التربة. منشورات مديرية الكتب والمطبوعات الجامعية، جامعة تشرين. سورية. ابراهيم، جهاد وهيثم عيد وشذا أسعد (2017). أثر إضافة ماء الجفت بمستويات مختلفة من السعة الحقلية على بعض الخصائص الفيزيائية والهيدروديناميكية للتربة وعلى إنتاجيتها من محصول البطاطا (Solanum Tuberosum.L). مجلة جامعة تشرين للبحوث والدراسات العلمية- سلسلة العلوم البيولوجية, 2018).

أسعد، شذا. (2022). أثر إضافة مستويات مختلفة من ماء الجفت على منحنيات الشد الرطوبي في بعض الصفات الكمية والنوعية لدريات البطاطا في تربة طينية ثقيلة. مجلة البحوث العلمية الزراعية - 10 (1):258-273.

Abichou, M.; M. Labiadh; and W. Cornelis (2009). The olive mills waste water (OMW) as an organic amendment for controlling wind erosion in southern Tunisia by improving the soil surface structure. Journal of Arid Land Studies. 19(1):242–246.

- Abu-Zreig, M.; and M. Al-Widyan (2002). Influence of olive mills solid waste on soil hydraulic properties. Communications in Soil Science and Plant Analysis. 33:505–517.
- Aranda, V.; J. Caleroa; I. Plaza; A. Ontiveros-Ortega (2016). Long-term effects of olive mill pomace co-compost on wettability and soil quality in olive groves Geoderma, 267:185-195.
- Barbera, A.; C. Maucieri; V. Cavallaro; A. Ioppolo; G. Spagna. (2013). Effects of spreading olive mill wastewater on soil properties and crops, a review. Agric. Water Manag. 119:43–53.
- Bernharat C. (1967). Uber die Berechnung der Fahhgeschwindigokeit Kugelformiger Teilcheninzahen
- Bisdom, E.B.A.; L.W. Dekke; J.F.T. Schoute; N. Sawatski; X. (1997). LiImportance of soil-water relations in assessing the endpoint of bioremediated soils. II. Water repellency in hydrocarbon contaminated soils Plant Soil. 192: 227- 236.
- Bonari, E.; L. Ceccarini (1993). Sugli effetti dello spargimento delle acque di vegetazione sul terreno agrario: risultati di una ricerca sperimentale Genio Rurale, 5: 60-67.

 Breakthrough under Non steady Flow. Journal of Soil Science. 42: 71–81.

 Canadian journal of soil science. 88(3):315-325.
- CBS: Central Bureau of Statistics. National report for Syrian resources. Damascus, Syria. http://cbssyr.sy/index-EN.htm
 - Change and Soil Interactions. 473–508. doi:10.1016/b978-0-12-818032-7.00018-7
- Chiesura, A.; V. Marano, P. De Francesco; A. Maraglino. (2005). Verso la sostenibilità della filiera olivicola: trattamento, recupero e valorizzazione dei sottoprodotti oleari. UNASCO, Roma
- Ciocca, F.; I. Lunati, and M. B. Parlange (2014). Effects of the water retention curve on evaporation from arid soils.
- Coniferous Forests. Soil Science Society of America Journal. 61(4): 1190.
- Cox, L.; R. Celis; M.C. Hermosin; A. Becker; J. Cornejo (1997). Porosity and herbicide leaching in soils amended with olive mill wastewater. Agriculture, Ecosystems and Environment. 65: 151-161.
- Diamantis, V.; T.H. Erguder; A. Aivasidis; W. Verstraete; E. Voudrias (2013). Wastewater disposal to landfill-sites: a synergistic solution for centralized management of olive mill wastewater and enhanced production of landfill gas J. Environ. Manag. 128: 427-434.

- Emerson, W.W. (2008). Aggregate stability to drying and wetting. In: Chesworth, W. (Ed.), Encyclopedia of Soil Science, Part 1, Springer, Dordrecht, Netherlands.
- Gardner, WR. (1960) .Dynamic aspects of water availability to plants. Soil Science, (89): 63–73. Geophysical Research Letters. 41: 3110–3116..
- Gikas, GD.; ID. Tsakmakis; VA. Tsihrintzis (2018). Hybrid natural systems for treatment of olive mill wastewater. J Chem Technol Biotechnol. 93(3):800–809.
- Indoria, A. K.; K. L Sharma; and K. S. Reddy (2020). Hydraulic properties of soil under a warming climate. Climate
- Jain, T. B.; R. T Graham; and D. L. Adams (1997). Carbon to Organic Matter Ratios for Soils in Rocky Mountain
- Jarvis, N. J.; L. Bergstrom; and P. E. Dik (1991). Modeling Water and Solute Transport in Macroporous Soils .2. Chloride
 - Kavvadias, V.; M. Doula; S. Theocharopoulos (2014). Long-term effects on soil of the disposal of olive mill waste waters (OMW). Environ Forensics. 15(1):37–51.
- Khalil, A.; G. Abdel Nasser; W. Aly; and A. A. Hasham (2019). Utilization of Liquid Olive Mill Waste and Some Natural Conditioners for Improving Sandy Soil Properties. Alexandria Journal of Soil and Water Sciences. 3(2): 68-87. Kostova, A. A.; U. K. Novaselova; and Gareast, A. P (1984). Increasing the production of plant protein. Moscow, P192.
- Lawlor, DW.; K. Mengel; EA. Kirkby (2004). Principles of plant nutrition. Ann Bot 93:479-80.
- Liu, Q.; B. Liu; Y. Zhang; Z. Lin; T. Zhu; R. J. Liu (2017). Can biochar alleviate soil compaction stress on wheat growth and mitigate soil N₂O emissions? Soil Biol. Biochem. 104: 8–17.
- Lozano-Garcia, B.; L. Parras-Alcantara; M. Del Torro Carillo de Albornoz. (2011) Effects of olive mill wastes on surface soil properties, runoff and soil losses in traditional olive groves in southern SpainCatena. 85: 187-193
- Magdich, S.; C. Ben Ahmed; R. Jarboui; B. Ben Rouina; M. Boukhris; E (2013). Ammar Dose and frequency-dependent effects of olive mill wastewater treatment on the chemical and microbial properties of soil. Chemosphere. 93: 1896-1903.
- Mahmoud, M.; M. Janssen.; S. Peth; R. Horn; B.Lennartz (2012). Long-term impact of irrigation with olive mill wastewater on aggregate properties in the top soil. Soil Tillage Research. 124:24–31
- Mahmoud, M.; M. Janssen; S. Peth; R. Horn; and B. Lennartz (2012). Long-term impact of irrigation with olive mill wastewater on aggregate properties in the top soil. Soil and Tillage Research. 124: 24–31.
- Marques, I.P. (2001). Anaerobic digestion treatment of olive oil mill wastewater for effluent re-use in irrigation Desalination. 137(1-3): 233-239

 Medic_Bergakademie2.
- Mekki, A.; A. Dhouib; S.Sayadi (2013). Effects of olive mill wastewater application on soil properties and plants growth. International Journal of Recycling. Organic Waste Agriculture. 2: 15–21. Methods of measuring plant growth parameters. Tashkent Agricultural Institute, Tashkent, 101 pp.
- Morisot, A (1979). Utilisation des margines per espandage L'Olivier, 19:8-13.
- Pagliai, M.; G. Guidi; M. Lamarca; M. Giachetti and G. Lucamante (1981). Effects of sewage sludges and composts on
- Pagliai, M.; S. Pellegrini; N. Vignozzi; R. Papini; A. Mirabella; C. Piovanelli; C.Gamba; N. Miclaus; M. Castaldini; C.De

- Paredes, C.; Cegarra, J.; Roig, A.; Sanchez-Monedero, M.; Bernal, M.P (1999). Characterization of olive mill wastewater (alpechin) and its sludge for agricultural purposes. Bioresour. Technol. 67: 111–115
- Pearson, D (1981). The chemical analysis of food. chemical publishing company, INC, New York.Tshernikova, E.A.
- Perie, C.; and R.Ouimet (2008). Organic carbon, organic matter and bulk density relationships in boreal forest soils.
- Phommalath, S.; M. Teraishi; T. Yoshikawa; H.Saito; T. Tsukiyama; T. Nakazaki; T. Tanisaka; Y. Okumoto (2014).
- Rokaya, N.; M. Aabdulaziz; I. Abdulhamid; S. salameh; Y.Mohammed; T. alidib; F.Saad (2005). Field crop production Tishreen University, Lattakia, Syria.
- Ryan, J.; G. Estefan; and A. Rashid. (2003). Soil and Plant Analysis Laboratory Manual2. ICARDA NARC. 172pp.
- S'habou, R.; M. Zairi; A. Kallel; A. Aydi; and Dhia, H. B (2009). Assessing the effect of an olive mill wastewater evaporation pond in Sousse. Tunisia Environ geol. 58 (3):679.
- Sahraoui, H.; S. Kanzari; M. Hachicha; and H. J. Mellouli (2015). Olive mill wastewater spreading effects on hydraulic soil properties. The Experiment. 30(4): 2002–2011.
- Sahraoui, H.; S. Kanzari; M. Hachicha; HJ. Mellouli (2014). Olive mill effluent spreading effects on water retention of tunisian sandy loam soil. Walailak J Sci Technol (WJST) 11(1):51–62.
- Sciarria, TP.; A. Tenca; A. D'Epifanio; B. Mecheri; G. Merlino; M. Barbato; F. Adani (2013). Using olive mill wastewater to improve performance in producing electricity from domestic wastewater by using single-chamber microbial fuel cell. Biores Technol. 147:246–253.
- Seo, J.-H.; K. Kim; -S. Ko; J.-M.; M.-S. Choi; B.-K. Kang; S.-W. Kwon; T.-H. Jun (2019). Quantitative trait locus analysis for soybean (Glycine max) seed protein and oil concentrations using selected breeding populations. Plant Breed. 138:95–104.
- Simone; R. Pini; B.Pezzarossa; E. Sparvoli (2001). Influenza dei reflui oleari sulla qualità del suolo. L'informatore Agrario 50 (Suppl. 1): 13–18. soil porosity and aggregation. Journal of Environmental Quality. 10556–561.
- Tendon, H.L.S (2005). Analysis of soils, plants, water and Fertilizers.
- TGL. 1985. 24300/05: Aufnahme landwirtschaftlich genutzter standorten, Kornungsarten undskelettgehalt 6S., Akad.landw.wiss, Berlin.
- Tshernikova, E. A(1981). Methods of measuring plant growth parameters. Tashkent Agricultural Institute, Tashkent, pp 101.
- Vaz, C. M. P.; M. de Freitas Iossi; J.de Mendonça Naime; Á. Macedo; J. M. Reichert; D. J. Reinert; and M. Cooper (2005). Validation of the Arya and Paris Water Retention Model for Brazilian Soils. Soil Science Society of America Journal. 69(3): 577 doi:10.2136/sssaj2004.0104
- Vella, F.; E. Galli; R. Calandrelli; D. Cautela; B (2016). LarattaEffect of olive mill wastewater spreading on soil properties Bull. Environ. Contam. Toxicol. 97: 138-144.
- Ventrella, D.; M. Castellini; S. Di Prima; P. Garofalo; and L. Lassabatère (2019). Assessment of the physically-based Hydrus-1D model for simulating the water fluxes of a Mediterranean cropping system. Water. 11: 1657. https://doi.org/10.3390/w11081657
- Westman, C. J.; J. Hytönen; and A. Wall (2006). Loss-on-ignition in the determination of pools of organic carbon in soils of forests and afforested arable fields. Communications in soil science and plant analysis, 37(7-8):1059-1075.

Wide genetic variation in phenolic compound content of seed coats among black soybean cultivars. Breed. Sci. 64: 409–415.

Yin, S.H.; Z.H. Chang; L.B. Han; X.S. Lu Yin (2012). Study on optimization of moisture retention for golf green rootzone soil mixtures. Acta Ecol. Sin. 32:26–32.

The effect of olive mill wastewater on some physical and hydrometeorological soil characteristics and on soybean growth and productivity

Evan Dayoub*(1), Jihad Ibrahim (1), Samar Hasan (2), and Ola Kajo (3)

- (1). Department of Soil and Water Sciences, Faculty of Agricultural Engineering, Tishreen University, Lattakia, Syria.
- (2). Agricultural Scientific Research Center (mathematical modelling of the solutions movement in soils), Lattakia, Syria.
- (3). Department of Field Crops (oil crops), Faculty of Agricultural Engineering, Tishreen University, Lattakia, Syria.

(*Corresponding Author: Evan Dayoub, E. mail: dayoubevan@gmail.com).

Received: 29/01/2024 Accepted: 25/05/2024

Abstract

This research was conducted in Latakia (Fideo Livestock farming) in 2022 to study the effect of three olive mill wastewater rates (0-5-10 l.m⁻²) in some soil's physical and hydronomical characteristics and soybean growth and productivity characteristics growing in a loamy soil. The experiment showed a significant decrease in the bulk density of the examined soil in both depths (0-20 and 20-40 cm) with increasing OMWW rates. OMWW level of 10 l.m⁻² in soil depth 0-20 cm achieved the highest value of total porosity 52.10 and pores containing available water 16.46. Similarly, the OMWW level of 10.l.m⁻² achieved the heday value of total porosity 44.86 in soil depth 20-40 cm, while the maximum value of pores containing available water15.87 was attained at the level 5 l.m⁻² of OMWW. On the other side, the treatment with 10 l.m⁻² of OMWW resulted in the best results of growth, productivity, and protein content, where the increments in leaf area and protein content were 28.22%,18.75% respectively, whilst productivity reached 38.25% and 63.22% when using 5 and 10 l. m⁻² respectively.

Keywords: bulk density, moisture tension ,plant available water- olive mill wastewater, soybean.